



Herrad Schmidt
Manfred Schwabl-Schmidt

AES und Rucksackverfahren

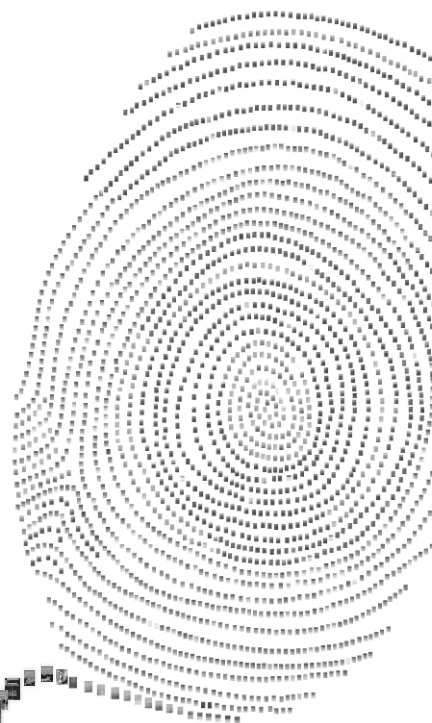
Theorie und Praxis mit
AVR- und dsPIC-Mikrocontrollern

AES und Rucksackverfahren

Lizenz zum Wissen.




Sichern Sie sich umfassendes Technikwissen mit Sofortzugriff auf tausende Fachbücher und Fachzeitschriften aus den Bereichen: Automobiltechnik, Maschinenbau, Energie + Umwelt, E-Technik, Informatik + IT und Bauwesen.

Exklusiv für Leser von Springer-Fachbüchern: Testen Sie Springer für Professionals 30 Tage unverbindlich. Nutzen Sie dazu im Bestellverlauf Ihren persönlichen Aktionscode **C0005406** auf www.springerprofessional.de/buchaktion/



**Jetzt
30 Tage
testen!**

Springer für Professionals.
Digitale Fachbibliothek. Themen-Scout. Knowledge-Manager.

-  Zugriff auf tausende von Fachbüchern und Fachzeitschriften
-  Selektion, Komprimierung und Verknüpfung relevanter Themen durch Fachredaktionen
-  Tools zur persönlichen Wissensorganisation und Vernetzung

www.entschieden-intelligenter.de

Springer für Professionals



Herrad Schmidt · Manfred Schwabl-Schmidt

AES und Rucksackverfahren

Theorie und Praxis mit AVR- und
dsPIC-Mikrocontrollern

 Springer Vieweg

Herrad Schmidt
Institut für Wirtschaftsinformatik
Universität Siegen
Siegen, Deutschland

Manfred Schwabl-Schmidt
Boppard, Deutschland

ISBN 978-3-658-19703-2
<https://doi.org/10.1007/978-3-658-19704-9>

ISBN 978-3-658-19704-9 (eBook)

Die Deutsche Nationalbibliothek verzeichnet diese Publikation in der Deutschen Nationalbibliografie; detaillierte bibliografische Daten sind im Internet über <http://dnb.d-nb.de> abrufbar.

Springer Vieweg

© Springer Fachmedien Wiesbaden GmbH 2017

Das Werk einschließlich aller seiner Teile ist urheberrechtlich geschützt. Jede Verwertung, die nicht ausdrücklich vom Urheberrechtsgesetz zugelassen ist, bedarf der vorherigen Zustimmung des Verlags. Das gilt insbesondere für Vervielfältigungen, Bearbeitungen, Übersetzungen, Mikroverfilmungen und die Einspeicherung und Verarbeitung in elektronischen Systemen.

Die Wiedergabe von Gebrauchsnamen, Handelsnamen, Warenbezeichnungen usw. in diesem Werk berechtigt auch ohne besondere Kennzeichnung nicht zu der Annahme, dass solche Namen im Sinne der Warenzeichen- und Markenschutz-Gesetzgebung als frei zu betrachten wären und daher von jedermann benutzt werden dürften. Der Verlag, die Autoren und die Herausgeber gehen davon aus, dass die Angaben und Informationen in diesem Werk zum Zeitpunkt der Veröffentlichung vollständig und korrekt sind. Weder der Verlag noch die Autoren oder die Herausgeber übernehmen, ausdrücklich oder implizit, Gewähr für den Inhalt des Werkes, etwaige Fehler oder Äußerungen. Der Verlag bleibt im Hinblick auf geografische Zuordnungen und Gebietsbezeichnungen in veröffentlichten Karten und Institutionsadressen neutral.

Gedruckt auf säurefreiem und chlorfrei gebleichtem Papier

Springer Vieweg ist Teil von Springer Nature

Die eingetragene Gesellschaft ist Springer Fachmedien Wiesbaden GmbH

Die Anschrift der Gesellschaft ist: Abraham-Lincoln-Str. 46, 65189 Wiesbaden, Germany

Vorwort

Wer das kryptographische Verfahren AES implementieren will oder soll, kann es sich sehr einfach machen, denn das Buch [DaRi] der beiden Erfinder des Verfahrens enthält eine komplette Realisierung. Soll die Implementierung jedoch für Mikrocontroller am unteren Ende des Leistungsspektrums durchgeführt werden, kommt man schnell in Schwierigkeiten, denn die Realisierung in [DaRi] ist ein C-Programm, das in die Mikrocontroller nicht hineinpasst.

Nun wäre es wohl möglich gewesen, an besagtem C-Programm so lange herumzubasteln, bis es doch passte, aber solch eine — kann man hier sagen — Strategie wäre doch sehr risikvoll gewesen: Änderungen an einem Programm vorzunehmen, dessen Funktion nicht genau bekannt ist war noch selten von Erfolg gekrönt. Der bessere Weg war sicherlich, vorab volles Verständnis des Verfahren zu erlangen und erst dann zu implementieren, und zwar direkt in die Assemblersprache der Mikrocontroller, um die speziellen Eigenschaften ihrer Befehlssätze auszunutzen zu können und so auch Mikrocontroller mit geringen Ressourcen einsetzen zu können.

Allerdings verlangt ein „volles Verständnis des Verfahrens“ ein beträchtliches Mehr an Verständnis komplexer Mathematik als bei Programmieren von Mikrocontrollern gemeinhin vermutet werden kann. Aus diesem Grund hat das Buch in großen Teilen eine geschichtete Struktur. Und zwar sind drei Schichten vorhanden:

- Die obere Schicht enthält die Theorie des Verfahrens. Hier wird noch keine Rücksicht auf eine Implementierung genommen, im Gegenteil, das Verfahren wird in reiner abstrakter Form in mathematischer Terminologie dargestellt.
- Die mittlere Schicht stellt eine praktische Formulierung des Verfahrens dar, welche die Realisierung als Computerprogramm berücksichtigt. Beispielsweise werden Vektorraumhomomorphismen der oberen Schicht durch der Rechnung unmittelbar zugängliche Matrizen ersetzt.
- Die untere Schicht endlich enthält die Umsetzung in Programmcode mitsamt einer ausführlichen Erläuterung der gewählten Umsetzungsstrategien.

Die Umsetzung in Programmcode hängt natürlich stark davon ab, welcher Mikrocontroller das Ziel darstellt. Um diesen Effekt etwas zu mildern werden deshalb Programme für zwei Mikrocontroller vorgestellt, die sehr verschiedenen Welten angehören, nämlich AVR und dsPIC. Überraschenderweise ist der dsPIC, mit einer 16-Bit-CPU und einem großartigen Befehlssatz, dem 8-Bit-AVR-Controller mit seinem wenig Enthusiasmus hervorrufenden Befehlssatz nicht so weit überlegen wie man wohl annehmen konnte. Der Grund liegt darin, daß die beiden umgesetzten kryptographischen Verfahren auf der Maschinenbefehlsebene eine relativ einfache Struktur besitzen, bei der die Vorteile eines überlegenen Befehlssatzes nicht groß ausgespielt werden können.

Es sei an dieser Stelle vermerkt, daß die C-Programme in [DaRi] **keine** Grundlage für die Implementierung von AES gewesen sind.

Kein Thema des Buches sind die kryptographischen Aspekte von Verschlüsselungssystemen, also etwa ob es möglich ist, einen Geheimtext zu dechiffrieren, ohne den zur Chiffrierung verwendeten Schlüssel zu kennen, oder, falls es möglich sein sollte, welcher Aufwand dazu wohl nötig wäre. Allerdings reichen die Darstellung und Implementierung von AES für ein Buch mit anständigem Umfang nicht aus.

Hier bot sich an, zusätzlich ein Verfahren mit öffentlichem Schlüssel darzustellen und zu implementieren. Damit wäre dann auch allein auf der Mikrocontrollerebene die sichere Versendung von AES-Schlüsseln möglich.

Jedoch erfordern sowohl RSA und ähnliche Systeme als auch solche, die auf elliptischen Funktionen basieren, einen solch großen rechnerischen Aufwand, daß eine brauchbare Implementierung für die kleinen Mikrocontroller praktisch ausgeschlossen ist. Das bleibt selbst dann richtig, wenn die effizientesten Rechenverfahren eingesetzt werden, etwa die Durchführung von modularer Multiplikation mit Montgomery-Multiplikation. Das gilt nun nicht nur für die Verschlüsselung an sich, sondern beispielsweise auch für die Bereitstellung von Schlüsseln. So muß beispielsweise ein Paar von großen Primzahlen mit gewissen Eigenschaften erzeugt werden. Wie das Sprichwort es so schön sagt: Die Teufelchen verstecken sich in den Details.

Einige der Verfahren mit einem öffentlichen Schlüssel sind jedoch rechenstechnisch noch praxisgeeignet zu bewältigen, und zwar sind das Verfahren, die auf dem Rucksackproblem basieren. Hier bereitet auch die Schlüsselerzeugung keine großen Probleme. Leider sind diese Chiffriersysteme nicht sicher (siehe z.B. [Sha]). Allerdings ist die Dechiffrierung eines Geheimtextes ohne den eingesetzten Schlüssel zu besitzen sehr aufwendig, und das gilt nicht nur für den Einsatz des Verfahrens, sondern auch für sein Verständnis. Zieht man daher den Einsatzzweck der im Buch behandelten Systeme in Betracht, nämlich die Verhinderung nicht autorisierten Gebrauches von Mikrocontrollersoftware, dann kann dieses Problem sicherlich ignoriert werden: Einem Raubkopierer von Mikrocontrollersoftware werden die benötigten Ressourcen wohl kaum zur Verfügung stehen.

Zum Schluss sei noch angemerkt, daß die Autoren bemüht waren, auch Querlesern einen leichten Zugang zu den verschiedenen Buchabteilungen zu ermöglichen, also etwa solchen Lesern, die an der theoretischen Darstellung nicht interessiert sind oder umgekehrt (wenn auch sehr unwahrscheinlich) nur an der Theorie interessiert sind. Das Buch enthält deshalb einiges an Redundanz, um das möglich zu machen.

Herrad Schmidt
Manfred Schwabl-Schmidt

Boppard, im Mai 2017

Inhaltsverzeichnis

1. Einleitung	1
2. Eine kurze Einführung in Chiffriersysteme	3
2.1. Definition eines Chiffriersystems	3
2.2. Das Chiffriersystem von HILL	9
2.3. RSA	16
2.4. Nachrede	21
3. Eine abstrakte Darstellung von AES	23
3.1. Die S-Box	24
3.2. Die Abbildungen \mathcal{E}_j zur Addition der Rundenschlüssel	29
3.3. Die Abbildung Θ zur Elementesubstitution und die Abbildung Π zur Reihenrotation	30
3.4. Die Abbildung Φ zur Spaltenmischung	31
3.5. Die Berechnung der Rundenschlüssel	35
3.6. Das Zusammensetzen der Rundenabbildungen	36
3.7. Die strukturelle Anpassung von Chiffrierung und Dechiffrierung	37
4. Eine konkrete Darstellung von AES	39
4.1. Die S-Box	40
4.2. Die Elementesubstitution und die Reihenrotation	43
4.3. Die Spaltenmischung	44
4.4. Die Berechnung der Rundenschlüssel	45
4.5. Die Runden \mathcal{R}_0 bis \mathcal{R}_{10} der Verschlüsselung	46
4.6. Die Umkehrunden \mathcal{U}_{10} bis \mathcal{U}_0 der Entschlüsselung	49
4.6.1. Die Umkehrunden \mathcal{U}_{10} bis \mathcal{U}_1	50
4.6.2. Die Umkehrrunde \mathcal{U}_0	52
5. Die Implementierung von AES für AVR-Mikrocontroller	53
5.1. Die Initialisierung	55
5.2. Die Berechnung der Rundenschlüssel	56
5.3. Die Spaltenmischung	62
5.4. Die optimierte Spaltenmischung	65
5.5. Die Verschlüsselung	69
5.6. Die Entschlüsselung	74
5.7. Nachrede	78
6. Die Implementierung von AES für dsPIC-Mikrocontroller	79
6.1. Die Initialisierung	82
6.2. Die Berechnung der Rundenschlüssel	85
6.3. Die Spaltenmischung	89

6.4. Die optimierte Spaltenmischung	92
6.5. Die Verschlüsselung	95
6.6. Die Entschlüsselung	100
6.7. Nachrede	104
7. Chipher Block Chaining (CBC) mit AES	105
7.1. Motivation	105
7.2. Definition	107
7.3. Implementierung für AVR	109
8. Chipher-Feedback Mode (CFM) mit AES	113
8.1. Motivation	113
8.2. Definition	114
8.3. Implementierung für AVR	117
9. Verschlüsselung mit dem Rucksackproblem	119
9.1. Theorie	120
9.2. Implementierung für AVR	130
9.2.1. Initialisierung	132
9.2.2. Verschlüsselung	139
9.2.3. Schnelle Multiplikation großer Zahlen	144
9.2.4. Entschlüsselung	154
9.3. Implementierung für dsPIC	163
9.3.1. Schnelle Multiplikation großer Zahlen	165
9.3.2. Initialisierung	173
9.3.3. Verschlüsselung	179
9.3.4. Entschlüsselung	181
9.4. Nachrede	183
10. Implementierung der Arithmetik von \mathbb{K}_{2^s}	185
10.1. Implementierung für AVR	189
10.1.1. Multiplikation	190
10.1.2. Optimierte Multiplikation	193
10.1.3. Division	197
10.2. Implementierung für dsPIC	199
10.2.1. Multiplikation und Division	199
10.3. Nachrede	204
A. Mathematischer Anhang	205
A.1. Die Teilerrestfunktion	206
A.2. Die EULERSche ϕ -Funktion	208
A.3. Polynome	211
A.4. Einiges zur Struktur endlicher Körper	219
A.5. Die Konstruktion von Körpern mit einer Primzahlpotenz als Elementezahl	222
B. Miscellen	225
B.1. Die Subtraktion großer positiver natürlicher Zahlen	226

B.2. Der Körper \mathbb{K}_{2^s} 229
B.3. AVR-Nomenklatur und AVR-Makros 234
B.4. Mathematische Symbole und Bezeichnungen 239

Literaturverzeichnis **241**

1. Einleitung

Wie schon im Vorwort bemerkt wurde, sind nicht die kryptographischen Eigenschaften der behandelten Verschlüsselungssysteme das Thema des Buches, sondern ihre Darstellung und Implementierung. Allerdings ist dafür Sorge zu tragen, daß die Leser und die Autoren des Buches die kryptographische Begriffswelt in übereinstimmender Weise anwenden. Deshalb beginnt das Buch mit einer kurzen (aber wirklich kurzen) Einführung in die hier verwendeten Begriffe im Zusammenhang mit Verschlüsselungssystemen.

Weil diese Begriffe hauptsächlich in der theoretischen — weniger in der praktischen — Darstellung eine Rolle spielen, werden sie auf eine abstrakte, mathematische Weise eingeführt, was ebenfalls noch mit dazu beiträgt, Mißverständnisse zu vermeiden. Leser, die nur den praktischen Teil des Buches — also hauptsächlich die Implementierungen — zu nutzen gedenken, können die Einführung bedenkenlos übergehen.

Eine Ausnahme gibt es jedoch, nämlich das Beispiel des Verschlüsselungssystems von HILL in Abschnitt 2.2. Vom Anwender her gesehen besitzt es nämlich eine gewisse Ähnlichkeit mit dem System AES. Es ist allerdings weit weniger komplex und kann daher gut dazu dienen, sich auf AES einzustimmen, ohne mit seinen Schwierigkeiten konfrontiert zu werden. Das HILLSche System wird aber auch deshalb etwas ausführlicher behandelt, weil es sich durchaus in der Praxis einsetzen läßt. Es teilt mit AES zwar die unabdingbare Bedingung, den Schlüssel strikt geheim zu halten, bietet aber genug Sicherheit für Verschlüsselungen, die nur für eine kurze Lebensdauer gedacht sind.

In Kapitel 3 wird das Verschlüsselungssystem AES auf eine abstrakte, d.h. mathematische Weise dargestellt. Hier sollte der Leser mit der Theorie endlicher Körper und ihrer Polynomringe vertraut sein. Leser, welche diese Kenntnisse nicht oder nur andeutungsweise besitzen, finden beispielsweise in [HSMS] eine recht ausführliche Darstellung dieser Theorie.

Die Darstellung orientiert sich nur wenig an [DaRi]. So wird dort z.B. die Berechnung der Rundenschlüssel in einer Weise dargestellt, die praktisch direkt von einer Möglichkeit der Implementierung abgeleitet ist. Die Darstellung in Abschnitt 3.5 vermeidet dagegen eine solche Abhängigkeit, sie verwendet die Schlüssel vielmehr in ihrer reinen oder abstrakten Gestalt als interner Text. In der abstrakten Darstellung läßt sich auch sehr schön ableiten, daß die Strukturen von Chiffrierung und Dechiffrierung so ähnlich sind, daß beide mit einem nahezu identischen Programm implementiert werden können, siehe dazu Abschnitt 3.7.

Höhere Anforderungen an die mathematischen Fähigkeiten der Leser stellt der Abschnitt 3.1 über die Herleitung der S-Box und ganz besonders der Abschnitt 3.4 über die Spaltenmischung. Hier sei noch einmal auf [HSMS] verwiesen. Bei Durchsicht dieser Abschnitte wird besonders deutlich, daß die Sicherheit von AES auf der hoch nichtlinearen Multiplikation des eingesetzten endlichen Körpers \mathbb{K}_{2^8} beruht und nicht auf der Anwendung von Permutationen wie bei DES oder *Twofish*.

Es folgt in Kapitel 4 eine Umformulierung von AES in eine mehr praktische Gestalt, die zur Grundlage der Implementierung im nächsten Kapitel wird. Hier wird vom Leser mathematisch nicht mehr abverlangt als mit Matrizen mit Koeffizienten im Körper \mathbb{K}_{2^8} umgehen zu können. Dazu kann Abschnitt B.2 im Anhang Verwendung finden.

1. Einleitung

Die nächsten beiden Kapitel bringen die Implementierungen von AES, und zwar Kapitel 5 die für AVR-Mikrocontroller und Kapitel 6 diejenige für dsPIC-Mikrocontroller. Der Leser wird feststellen, daß für AVR wesentlich mehr Aufwand betrieben wird, um die Schwächen des Befehlssatzes zu umgehen. Das hat zur Folge, daß sich die Implementierungen nicht allzusehr unterscheiden, was die Effizienz der erzeugten Programme betrifft.

Schließlich wird das Thema AES abgeschlossen mit den Kapiteln 7 und 8, in welchen Verfahren beschrieben werden, die eine Schwäche von AES beseitigen, die bei der Chiffrierung langer Klartexte auftreten kann. Die Methode in Kapitel 8 kann auch dazu dienen, die *Block Cipher* AES in eine *Stream Cipher* zu verwandeln. Beide Verfahren werden allerdings nur für AVR implementiert.

Das nächste Kapitel 9 ist einer Verschlüsselung auf der Basis des Rucksackproblems gewidmet. Der theoretische Teil in Abschnitt 9.1 verwendet im Gegensatz zu AES nur relativ einfache Mathematik. Hier kann die Theorie ohne Umformungen direkt in die Implementierungen für AVR und dsPIC umgesetzt werden. Um den Abschnitt 9.2 für AVR nicht ausufern zu lassen wird dort eine etwas vereinfachte Version realisiert. Die Realisierung für den dsPIC-Mikrocontroller in Abschnitt 9.3 ist dagegen frei von Beschränkungen, soweit das bei einem Mikrocontroller eben möglich ist.

Weil der Körper \mathbb{K}_{2^8} an zentraler Stelle des AES-Verfahrens steht, ist seiner Implementierung ein eigenes Kapitel 10 gewidmet. Implementiert wird für beide Mikrocontroller. Auch hier ist die Realisierung für AVR viel aufwendiger, die notwendigen Optimierungsmaßnahmen haben Beschränkungen für das erzeugte Programm zur Folge.

Es folgt in Kapitel A ein (wenn auch sehr unvollständiger) mathematischer Anhang, in dem zumindest ein Teil der im Buch verwendeten Mathematik vorgestellt wird. Es ist allerdings kein Ersatz für [HSMS]. Immerhin kann sich der Leser hier mit der mathematischen Symbolik vertraut machen, die im Buch durchgehend verwendet wird. Das gilt besonders für die Teilerrestfunktion und die Polynome und Polynomringe. Auch wird kurz die Konstruktion eines endlichen Körpers wie \mathbb{K}_{2^8} vorgeführt.

Das Buch endet mit Kapitel B im Anhang, das einiges unzusammenhängende Material enthält. Für den Leser wohl am wichtigsten ist der Abschnitt B.4, in dem häufig verwendete Symbole und Bezeichnungen kurz erläutert werden.

Zum Abschluss noch eine Bemerkung zu den Implementierungen. Die Verfahren wurden für AVR direkt in die Assemblersprache der Prozessoren übertragen. Die beträchtliche (schlechte) Erfahrung der Autoren mit der Programmierung von AVR-Prozessoren führte dazu, daß gar nicht erst der Versuch gemacht wurde, einen der zur Verfügung stehenden C-Compiler zu verwenden. Denn eines der Ziele war es schließlich, umfangreiche Programme in möglichst kleine Mikrocontroller zu packen, von der Ausführungsgeschwindigkeit ganz zu schweigen.

Bei dsPIC-Controllern wurden zunächst einige C-Programme geschrieben und der erzeugte Maschinencode untersucht. Wie recht eigentlich erwartet war der Maschinencode streckenweise unbeschreiblich schlecht. Die Vorteile des sehr guten Befehlssatzes wurden nur minimal genutzt, so wurden z.B. komplexe aber dennoch schnelle Befehle im Code nicht verwendet, sondern mit Folgen einfacher Befehle simuliert. Folglich wurden auch beim dsPIC die Verfahren direkt in Assemblercode übersetzt.

2. Eine kurze Einführung in Chiffriersysteme

2.1. Definition eines Chiffriersystems

Als Erstes sollte präzisiert werden, was genau unter einer Folge von Elementen einer Menge M zu verstehen ist, denn solche Folgen sind Basisobjekte von Chiffriersystemen.

Eine Folge von Elementen einer beliebigen Menge M ist eine Abbildung $f: N \rightarrow M$, wobei $N \subset \mathbb{N}$. Statt $f(n)$ für $n \in N$ wird gewöhnlich f_n geschrieben, oder die Folge wird direkt mit ihren Folgengliedern als $(f_n)_{n \in N}$ bezeichnet.

Die Menge aller Folgen von Elementen einer Menge M wird mit \mathcal{F}_M bezeichnet, d.h.

$$\mathcal{F}_M = \left\{ (f_n)_{n \in N} \mid N \subset \mathbb{N} \wedge \bigwedge_{n \in N} f_n \in M \right\}$$

Die Menge N ist die *Indexmenge*, ihre Elemente sind die *Indizes* der Folge.

Bei einer endlichen Indexmenge $N = \{n_1, \dots, n_k\}$ kann eine Folge auch so bezeichnet werden, daß man die Folgenglieder nebeneinander in einer Reihe anschreibt, zur besseren Abgrenzung oft in Klammern gesetzt,

$$(f_{n_1}, \dots, f_{n_k})$$

speziell bei $N = \{a, b, c, d\}$ also als (f_a, f_b, f_c, f_d) . Spielt die Indexmenge keine Rolle, kommt es also nur auf die Reihenfolge der Folgenglieder an, können die Indizes auch unterdrückt werden, etwa in (o, p, q, r) . Das ist also so zu verstehen, daß es eine Indexmenge $N = \{n_1, n_2, n_3, n_4\} \subset \mathbb{N}$ und eine Abbildung $f: N \rightarrow \{o, p, q, r\}$ gibt mit $f_{n_1} = o$, $f_{n_2} = p$, $f_{n_3} = q$ und $f_{n_4} = r$. Man läßt oftmals sogar die Kommata weg, wie in $(o p q r)$.

In der Kryptographie betrachtet man gerne Folgen von Elementen von \mathbb{Z}_{26} , dabei werden die $n \in \mathbb{Z}_{26}$ mit den Großbuchstaben des Alphabetes bezeichnet, meistens A = 0, B = 1 und so fort bis Z = 25. Texte in Großbuchstaben können dann als Folgen von Elementen aus \mathbb{Z}_{26} aufgefasst werden. Der besseren Lesbarkeit wegen empfiehlt es sich jedoch, zu \mathbb{Z}_{27} überzugehen und mit dem hinzugekommenen Element das Leerzeichen zu benennen, also $\sqcup = 26$. So wird beispielsweise der Text (die Zeichenfolge)

EIN \sqcup KLARTEXT

zu der folgenden Folge von Elementen von \mathbb{Z}_{27} :

$$4 \ 8 \ 13 \ 26 \ 10 \ 11 \ 0 \ 17 \ 19 \ 4 \ 23 \ 19$$

Diese Zahlenfolge repräsentiert eine unendliche Anzahl von endlichen Folgen der Länge 12 von Elementen von \mathbb{Z}_{27} . Eine dieser Folgen ist $f: \{2, 3, \dots, 12, 13\} \rightarrow \mathbb{Z}_{27}$ mit $f_2 = 4$, $f_3 = 8$ usw. bis $f_{13} = 19$.

Heutzutage werden allerdings weniger alberne Botschaften wie ANGRIFF \sqcup IM \sqcup MORGENGRAUEN verschlüsselt sondern unter Anderem auch ganze Computerdateien beliebigen Inhalts. Man hat es

2. Eine kurze Einführung in Chiffriersysteme

dann mit Folgen der kleinsten Einheit einer solchen Datei zu tun, also etwa mit Bytes oder 16-Bit-Worten, die als Elemente von \mathbb{Z}_2^8 bzw. \mathbb{Z}_2^{16} interpretiert werden können.

Moderne Verschlüsselungsverfahren arbeiten nicht mehr mit Folgen von als Zahlen interpretierten Zeichen (Buchstaben, Ziffern, Satzzeichen), sondern mit mathematischen Objekten. Dazu zählt natürlich AES, das mit 4×4 -Matrizen mit Koeffizienten im endlichen Körper \mathbb{K}_{2^8} arbeitet, andere Systeme arbeiten mit sehr großen natürlichen Zahlen. Diese systeminternen Klartexte und Geheimentexte werden zum praktischen Gebrauch in externe Texte verwandelt oder aus ihnen rückverwandelt.

Die Menge \mathcal{F}_M aller Folgen mit Elementen in M ist für praktische Zwecke viel zu groß, man beschränkt sich deshalb auf die Menge aller *endlichen* Folgen:

$$\mathcal{E}_M = \{ \mathbf{f}: N \longrightarrow M \mid N \subset \mathbb{N} \wedge \#(N) < \#(\mathbb{N}) \}$$

Es ist natürlich $\mathcal{E}_M \subset \mathcal{F}_M$. Schließlich sei noch für beliebige Mengen A und B

$$\mathbf{I}\langle A, B \rangle$$

die Menge aller injektiven Abbildungen $\varphi: A \longrightarrow B$, also solcher Abbildungen mit der Eigenschaft, daß $a = \tilde{a}$ aus $\varphi(a) = \varphi(\tilde{a})$ folgt.

Mit diesen Bezeichnungen kann nun ein Chiffriersystem präzise beschrieben werden. Mit der nachfolgenden Definition werden praktisch alle existierenden Chiffriersysteme erfasst. Und zwar besteht ein Chiffriersystem aus

- (i) einem Klartextalphabet \mathbf{T}
- (ii) einem Klartextbereich $\mathcal{T} \subset \mathcal{E}_{\mathbf{T}}$
- (iii) einem Geheimentextalphabet \mathbf{G}
- (iv) einem Geheimentextbereich $\mathcal{G} \subset \mathcal{E}_{\mathbf{G}}$
- (v) einem Schlüsselbereich \mathcal{K}
- (vi) einer Abbildung $\Omega: \mathcal{K} \longrightarrow \mathbf{I}\langle \mathcal{T}, \mathcal{G} \rangle$

Jedem Schlüssel $\mathbf{k} \in \mathcal{K}$ ist also eine injektive Abbildung $\Omega(\mathbf{k})$ vom Klartextbereich \mathcal{T} in den Geheimentextbereich \mathcal{G} zugeordnet, nämlich die **Verschlüsselungsabbildung** oder **Chiffrierabbildung** des Schlüssels \mathbf{k} .

Die Umkehrfunktion von $\Omega(\mathbf{k})$, also die Abbildung $\Omega(\mathbf{k})^{-1}: \Omega(\mathbf{k})[\mathcal{T}] \longrightarrow \mathcal{T}$, ist die **Entschlüsselungsabbildung** oder **Dechiffrierungsabbildung**.

Diese auf den ersten Blick möglicherweise etwas furchteinflößende Definition ist tatsächlich leicht zu verstehen, wie das folgende einfache Beispiel zeigt.

- (i) $\mathbf{T} = \mathbb{Z}_{27}$
- (ii) $\mathcal{T} = \mathcal{E}_{\mathbb{Z}_{27}}$
- (iii) $\mathbf{G} = \mathbb{Z}_{27}$
- (iv) $\mathcal{G} = \mathcal{E}_{\mathbb{Z}_{27}}$
- (v) $\mathcal{K} = \mathbb{Z}_{27}$
- (vi) Die Abbildung $\Omega: \mathbb{Z}_{27} \longrightarrow \mathbf{I}\langle \mathcal{E}_{\mathbb{Z}_{27}}, \mathcal{E}_{\mathbb{Z}_{27}} \rangle$ ist gegeben als $\Omega(k)((\mathbf{t}_\nu)_{\nu \in N}) = (\mathbf{t}_\nu \oplus k)_{\nu \in N}$, wobei $N \subset \mathbb{N}$ endlich und $\mathbf{t}: N \longrightarrow \mathbb{Z}_{27}$ eine Folge von Elementen aus \mathbb{Z}_{27} ist. Ferner ist \oplus die Addition von \mathbb{Z}_{27} .

Das Verfahren ersetzt jedes Zeichen \mathbf{t}_ν einer Folge $(\mathbf{t}_\nu)_{\nu \in N}$ durch das Zeichen $\mathbf{t}_\nu \oplus k$, oder um es mit einem Fremdwort auszudrücken, $\mathbf{t}_\nu \oplus k$ *substituiert* \mathbf{t}_ν . Dieses Chiffriersystem heißt deshalb

ein Chiffriersystem mit Substitutionsschlüssel.

Ganz konkret im Falle $k = 1$ wird also folgendermaßen substituiert: Jeder Buchstabe von A bis Y wird durch den rechten Nachbarbuchstaben im Alphabet ersetzt, d.h. A durch B, B durch C usw. bis schließlich Y durch Z. Weiter wird Z durch das Leerzeichen \sqcup und endlich das Leerzeichen selbst durch den Buchstaben A ersetzt. Dieses Verschlüsselungssystem ist sehr alt, schon Julius Caesar soll es mit $k = 3$ eingesetzt haben.

Es ist allerdings noch nicht gezeigt worden, daß das beschriebene System tatsächlich ein Chiffriersystem ist. Dazu ist zu bestätigen, daß für jedes $k \in \mathbb{Z}_{27}$ die Abbildung $\Omega(k)$ injektiv ist. Es seien also $\mathbf{s} = (s_\mu)_{\mu \in M}$ und $\mathbf{t} = (t_\nu)_{\nu \in N}$ Folgen mit

$$(\mathbf{s}_\nu \oplus k)_{\mu \in M} = \Omega(k)((\mathbf{s}_\mu)_{\mu \in M}) = \Omega(k)((\mathbf{t}_\nu)_{\nu \in N}) = (\mathbf{t}_\nu \oplus k)_{\nu \in N}$$

Zwei Abbildungen, d.h. hier die beiden Folgen $\Omega(k)(\mathbf{s}) : M \rightarrow \mathbb{Z}_{27}$ und $\Omega(k)(\mathbf{t}) : N \rightarrow \mathbb{Z}_{27}$, können nur dann gleich sein, wenn sie denselben Definitionsbereich besitzen. Aus obiger Annahme folgt deshalb $M = N$. Weiter sind zwei Abbildungen (mit demselben Definitionsbereich) genau dann gleich, wenn ihre Bilder gleich sind. Aus der Annahme folgt also weiter $\mathbf{s}_\nu \oplus k = \mathbf{t}_\nu \oplus k$. Die Addition von $-k = 27 - k$ bringt hier natürlich das Gewünschte, nämlich $\mathbf{s}_\nu = \mathbf{t}_\nu$.

Es bleibt noch zu bestimmen, wie in diesem System entschlüsselt wird, d.h. es sind die Umkehrfunktionen der $\Omega(k)$ anzugeben. Aber die $\Omega(k)$ sind natürlich surjektiv, denn zu gegebener Folge $(\mathbf{t}_\nu)_{\nu \in N}$ ist

$$\Omega(k)((\mathbf{t}_\nu \ominus k)_{\nu \in N}) = (\mathbf{t}_\nu)_{\nu \in N}$$

womit auch die Umkehrabbildungen $\Omega(k)^{-1}$ gegeben sind, nämlich als

$$\Omega(k)^{-1}((\mathbf{t}_\nu)_{\nu \in N}) = (\mathbf{t}_\nu \ominus k)_{\nu \in N}$$

Dabei ist $u \ominus v$ eine Abkürzung von $u \oplus (-v)$.

Das soeben vorgestellte auf \mathbb{Z}_{27} als Alphabet aufbauende Chiffriersystem mit Substitutionsschlüssel kann ganz allgemein formuliert werden. Es sei dazu für irgendeine Menge U

$$\mathbf{P}\langle U \rangle$$

die Menge aller bijektiven Abbildungen oder *Permutationen* $\xi : U \rightarrow U$ von U . Damit wird durch das folgende Schema

- (i) $\mathbf{T} = A$ mit einer endlichen Menge A
- (ii) $\mathcal{T} = \mathcal{E}_A$
- (iii) $\mathbf{G} = A$
- (iv) $\mathcal{G} = \mathcal{E}_A$
- (v) $\mathcal{K} = \mathbf{P}\langle A \rangle$
- (vi) Die Abbildung $\Omega : \mathbf{P}\langle A \rangle \rightarrow \mathbf{I}\langle \mathcal{E}_A, \mathcal{E}_A \rangle$ ist gegeben als

$$\Omega(\xi)((\mathbf{a}_\nu)_{\nu \in N}) = (\xi(\mathbf{a}_\nu))_{\nu \in N}$$

wobei $N \subset \mathbb{N}$ endlich und $\mathbf{a} : N \rightarrow A$ eine Folge von Elementen aus A ist.

ein Chiffriersystem mit Substitutionsschlüssel definiert. Hier hat man im Wesentlichen zu zeigen, daß $\mathbf{a}_\nu = \mathbf{b}_\nu$ aus $\xi(\mathbf{a}_\nu) = \xi(\mathbf{b}_\nu)$ folgt, aber das ist wegen der Bijektivität von ξ klar. Und es gilt natürlich die Gleichung $\Omega(\xi)^{-1} = \Omega(\xi^{-1})$.

2. Eine kurze Einführung in Chiffriersysteme

Offensichtlich wird durch $x \mapsto x \oplus k$ eine bijektive Abbildung $\mathbb{Z}_{27} \rightarrow \mathbb{Z}_{27}$ definiert, d.h. das Chiffriersystem mit Substitutionsschlüssel ist tatsächlich eine Spezialisierung des eben vorgestellten Systems mit Permutationen. Es gibt noch viele solcher Spezialisierungen, wie es auch noch viele andere mit Raffinesse ausgedachte Verschlüsselungssysteme gibt, die heute allerdings aus Gründen mangelnder Sicherheit höchstens noch historische Bedeutung haben. Manche setzen mechanische Hilfsmittel ein, deren Spektrum sich vom simplen Streifen Papier bis zu ausgeklügelten Zahnradmechaniken erstreckt. Ein diesbezüglich leicht lesbares Buch mit vielen Illustrationen ist [ASMW].

Die bisher betrachteten Verschlüsselungssysteme chiffrieren und dechiffrieren die Zeichen so, wie sie der Reihe nach anfallen (daher *stream cipher* genannt). Manche Systeme fassen jedoch eine bestimmte Anzahl von Zeichen in einem Block zusammen und chiffrieren und dechiffrieren diesen Block als eine Einheit (daher *block cipher* genannt). Zu diesem Typ zählen auch die im Buch ausführlich vorgestellten Systeme, also AES und das Rucksacksystem.

Um nun auch diese Verschlüsselungssysteme in das obige Schema zu bringen wird aus der Menge \mathcal{F}_M aller Folgen mit Elementen in einer Menge M neben der Teilmenge aller endlichen Folgen eine weitere Teilmenge ausgesondert:

$$\mathcal{E}_M^{16} = \{ f : N \rightarrow M \mid N \subset \mathbb{N} \wedge \#(N) = 16 \}$$

Es ist also die Menge aller Folgen der Länge 16, und natürlich ist $\mathcal{E}_M^{16} \subset \mathcal{E}_M$. Weiterhin sei \mathcal{M}_M die Menge der 4×4 -Matrizen mit Koeffizienten in der Menge M :

$$\mathcal{M}_M = \left\{ \begin{pmatrix} m_{00} & m_{01} & m_{02} & m_{03} \\ m_{10} & m_{11} & m_{12} & m_{13} \\ m_{20} & m_{21} & m_{22} & m_{23} \\ m_{30} & m_{31} & m_{32} & m_{33} \end{pmatrix} \mid m_{\nu\mu} \in M \right\}$$

Schließlich sei noch eine Abbildung $\mathbf{A} : \mathcal{E}_M^{16} \rightarrow \mathcal{M}_M$ definiert durch

$$\mathbf{A}((f_\nu)_{\nu \in N}) = \begin{pmatrix} f_{\nu_0} & f_{\nu_4} & f_{\nu_8} & f_{\nu_{12}} \\ f_{\nu_1} & f_{\nu_5} & f_{\nu_9} & f_{\nu_{13}} \\ f_{\nu_2} & f_{\nu_6} & f_{\nu_{10}} & f_{\nu_{14}} \\ f_{\nu_3} & f_{\nu_7} & f_{\nu_{11}} & f_{\nu_{15}} \end{pmatrix} \quad \text{mit } N = \{\nu_0, \nu_1, \dots, \nu_{15}\} \text{ und } \#(N) = 16$$

Diese Abbildung ist offensichtlich eine Bijektion, die eine Folge der Länge 16 von Elementen aus M zu einer 4×4 -Matrix zusammenfasst (siehe z.B. auch Abschnitt 4).

Bei den bisher vorgestellten Verschlüsselungssystemen ist der Schlüssel sowohl beim Sender als auch beim Empfänger eines Textes streng geheim zu halten. Vor dem Empfang eines Textes muß der Schlüssel also auf einem sicheren Wege zum Empfänger gelangen. Denn bei diesen Systemen ist bei gegebenem Schlüssel $\mathbf{k} \in \mathcal{K}$ sowohl die Verschlüsselungsabbildung $\Omega(\mathbf{k}) : \mathcal{T} \rightarrow \mathcal{G}$ als auch deren Umkehrung, die Entschlüsselungsabbildung $\Omega(\mathbf{k})^{-1} : \mathcal{G} \rightarrow \mathcal{T}$ bekannt (hier wird die Bijektivität von $\Omega(\mathbf{k})$ angenommen). Ein verschlüsselter Text $\mathbf{g} = \Omega(\mathbf{k})(\mathbf{t})$ kann also von jedem, der den Schlüssel \mathbf{k} kennt, sofort als $\mathbf{t} = \Omega(\mathbf{k})^{-1}(\mathbf{g})$ entschlüsselt werden.

Betrachtet man jedoch die Verschlüsselungssysteme genauer, dann fällt auf, daß der Zusammenhang zwischen $\Omega(\mathbf{k})$ und $\Omega(\mathbf{k})^{-1}$ wie folgt beschrieben werden kann: Es gibt eine Abbildung $\zeta : \mathcal{K} \rightarrow \mathcal{K}$ so, daß

$$\Omega(\mathbf{k})^{-1} = \Omega(\zeta(\mathbf{k}))$$

gilt. Im Chiffriersystem mit $\mathcal{K} = \mathbb{Z}_{27}$ ist beispielsweise $\zeta(k) = -k$, im System mit $\mathcal{K} = \mathbf{P}\langle A \rangle$ ist $\zeta(\xi) = \xi^{-1}$, und (etwas vorgegriffen) im HILLSchen System ist $\zeta(\mathbf{K}) = \mathbf{K}^{-1}$. In diesen Beispielen ist $\zeta(\mathbf{k})$ aus \mathbf{k} leicht zu berechnen.

Aber einmal angenommen, es wäre unmöglich oder zumindest praktisch unmöglich, $\tilde{\mathbf{k}} = \zeta(\mathbf{k})$ aus \mathbf{k} zu bestimmen, ohne die Abbildung ζ zu kennen. Dann könnte doch die Chiffrierabbildung $\Omega(\mathbf{k})$ öffentlich so zugänglich gemacht werden, etwa in einer Datenbank, daß **jeder** damit einen Text verschlüsseln könnte. Entschlüsseln könnte diesen Text nur derjenige, der die Abbildung ζ und damit die Entschlüsselungsabbildung $\Omega(\mathbf{k})^{-1} = \Omega(\zeta(\mathbf{k}))$ kennt. Bei Einsatz einer solchen Abbildung ζ ist kein gesicherter Schlüsseltransfer vom Empfänger an den Sender notwendig.

Nun hält die Mathematik eine Reihe von Problemen bereit, die bei geeigneter Parameterwahl praktisch unlösbar sind. Das bekannteste Problem ist wohl die Zerlegung einer natürlichen Zahl in ihre Primzahlkomponenten, die bei derzeitiger Rechentechnik bei einer geeignet gewählten Zahl unmöglich zu berechnen ist.

Problematisch bei vielen dieser Probleme ist allerdings, daß nur *vermutet* wird, daß sie praktisch unlösbar sind. Ein Verschlüsselungssystem, das auf der angenommenen (praktischen) Unmöglichkeit der Lösung eines Problems beruht, wird über Nacht wertlos, wenn doch eine Lösungsmöglichkeit gefunden wird. Ein Problem jedoch, das schon viele Jahrhunderte über traktiert wurde, dürfte für die nähere Zukunft als sicher gelten.

Eine bijektive Abbildung $f: A \rightarrow B$, mit der $b = f(a)$ einfach zu berechnen ist, mit der es jedoch unmöglich oder doch sehr schwer ist, $a = f^{-1}(b)$ zu berechnen, wird oft aus offensichtlichen Gründen mit dem Namen **Falltürfunktion** bezeichnet. Hier wäre also $\Omega(\mathbf{k})$ die Falltürfunktion, deren Inverse $\Omega(\zeta(\mathbf{k}))$ ohne die Kenntnis der Abbildung ζ unmöglich zu bestimmen ist.

Ein bekanntes Beispiel ist die diskrete Exponentialfunktion. Nach Kapitel 10 gibt es zu jeder Primzahlpotenz $q = p^k$ ein $a \in \{1, \dots, q-1\}$ so, daß es zu jedem $u \in \{1, \dots, q-1\}$ **genau ein** $\nu \in \{0, \dots, q-2\}$ gibt mit $u = a^\nu$. Durch

$$\exp_a(\nu) = a^\nu$$

wird daher eine **bijektive** Abbildung $\exp_a: \{0, \dots, q-2\} \rightarrow \{1, \dots, q-1\}$ definiert, die diskrete Exponentialfunktion (zum primitiven Element a).

Die Bezeichnung *Exponentialfunktion* darf allerdings nicht darüber hinwegtäuschen, daß \exp_a nur eine Approximation der reellen Exponentialfunktion darstellt. Man kann nicht erwarten, daß die diskrete Exponentialfunktion alle Eigenschaften der reellen Funktion getreulich nachahmt. Aus der Eigenschaft $\exp_a(x)\exp_a(y) = \exp_a(x+y)$ der reellen Exponentialfunktion wird nämlich

$$\exp_a(\nu)\exp_a(\mu) = \exp_a(\varrho_{q-1}(\nu + \mu))$$

Natürlich gilt für das Potenzenprodukt auch $a^\nu a^\mu = a^{\nu+\mu}$, für die Exponentialfunktion ist jedoch $\nu \in \{0, \dots, q-2\}$ gefordert, um $\exp_a(\nu)$ bilden zu können, d.h. der Exponent ist modulo $q-1$ zu reduzieren. Jedenfalls ist \exp_a eine bijektive Abbildung, die eine Umkehrabbildung

$$\log_a: \{1, \dots, q-1\} \rightarrow \{0, \dots, q-2\}$$

besitzt, die entsprechend diskreter Logarithmus genannt wird. Auch die bekannte Eigenschaft $\log_a(xy) = \log_a(x) + \log_a(y)$ der reellen Logarithmusfunktion kann nur in approximativer Gestalt erwartet werden:

$$\log_a(\nu\mu) = \varrho_{q-1}(\log_a(\nu) + \log_a(\mu))$$

2. Eine kurze Einführung in Chiffriersysteme

In diesem Zusammenhang ist es allerdings bedeutender, daß die diskrete Exponentialfunktion eine Falltürfunktion ist. Die Berechnung von $\exp_a(\nu)$ ist sehr einfach auszuführen für kleine $\nu \in \{0, \dots, q-2\}$ und es gibt schnelle und sehr schnelle Algorithmen für große ν . Niemand kennt jedoch einen schnellen Algorithmus zur Berechnung von $\log_a(\mu)$ für große $\mu \in \{1, \dots, q-1\}$. In der Praxis ist q eine Primzahl mit mindestens 100 Dezimalziffern, es ist also unmöglich, alle $\nu \in \{0, \dots, q-2\}$ zu durchlaufen und zu prüfen, ob $\exp_a(\nu) = \mu$ gilt.

Diese Eigenschaft der diskreten Logarithmusfunktion, sehr schwierig berechenbar zu sein, wird auch tatsächlich in einem Chiffriersystem genutzt, und zwar in dem System von ELGAMAL.

Es folgen noch zwei Beispiele von Verschlüsselungssystemen. Das erste, das System von HILL, ist vom Anwender her gesehen dem System AES ein wenig ähnlich, ist aber sehr viel einfacher strukturiert und kann so als eine leicht verdauliche Einstimmung auf AES dienen. Das zweite System ist RSA, das bekannteste aller Falltürsysteme. Es ist vom Konzept her nicht sonderlich schwierig und als ein Beispiel für ein Falltürsystem gut geeignet.

2.2. Das Chiffriersystem von HILL

In diesem Abschnitt wird eine Abart des Chiffriersystems von HILL vorgestellt, die möglichst dem System AES angenähert ist, jedenfalls was das Äußere, also die Schnittstelle zum Anwender, betrifft. Es ist zwar schon etwas in die Jahre gekommen — es wurde am Anfang des vorigen Jahrhunderts entwickelt — kann aber mit etwas Vorsicht durchaus noch heute eingesetzt werden, wenn es nicht auf die allerhöchste Geheimhaltungsstufe ankommt.

Die Klartexte und Geheimtexte des Chiffriersystems sind Elemente \mathbf{T} der Menge \mathcal{M} der 4×4 -Matrizen mit Koeffizienten im Körper $\mathbb{K}_{256} = \mathbb{K}_{256}$:

$$\mathbf{T} = \begin{pmatrix} \mathbf{t}_{00} & \mathbf{t}_{01} & \mathbf{t}_{02} & \mathbf{t}_{03} \\ \mathbf{t}_{10} & \mathbf{t}_{11} & \mathbf{t}_{12} & \mathbf{t}_{13} \\ \mathbf{t}_{20} & \mathbf{t}_{21} & \mathbf{t}_{22} & \mathbf{t}_{23} \\ \mathbf{t}_{30} & \mathbf{t}_{31} & \mathbf{t}_{32} & \mathbf{t}_{33} \end{pmatrix}$$

Die Schlüssel \mathbf{S} des Systems sind ebenfalls Matrizen aus \mathcal{M} , sie müssen jedoch aus der Teilmenge $\mathcal{S} \subset \mathcal{M}$ der **regulären** Matrizen gewählt werden. Das bedeutet also, daß es zu jedem Schlüssel \mathbf{S} einen Schlüssel \mathbf{S}^{-1} gibt mit

$$\mathbf{S}\mathbf{S}^{-1} = \mathbf{S}^{-1}\mathbf{S} = \mathbf{I}$$

dabei ist \mathbf{I} die 4×4 -Einheitsmatrix mit Einsen (also 01_{16}) in der Hauptdiagonalen und überall sonst Nullen (also 00_{16}). Die Multiplikation der Matrizen \mathbf{S} und \mathbf{S}^{-1} ist natürlich mit der Addition und Multiplikation des Körpers \mathbb{K}_{256} auszuführen (hier weicht das vorgestellte Verschlüsselungssystem vom ursprünglichen HILLschen System ab). Und schließlich sind die zu einem Schlüssel \mathbf{S} gehörigen Chiffrierabbildungen

$$\Psi_{\mathbf{S}} : \mathcal{M} \longrightarrow \mathcal{M} \quad \Psi_{\mathbf{S}}^{-1} : \mathcal{M} \longrightarrow \mathcal{M}$$

definiert als die folgenden Matrizenprodukte:

$$\Psi_{\mathbf{S}}(\mathbf{T}) = \mathbf{S}\mathbf{T} \quad \Psi_{\mathbf{S}}^{-1}(\mathbf{T}) = \mathbf{S}^{-1}\mathbf{T}$$

Hier besteht also der einfache Zusammenhang $\Psi_{\mathbf{S}}^{-1} = \Psi_{\mathbf{S}^{-1}}$, und $\Psi_{\mathbf{S}}$ und $\Psi_{\mathbf{S}}^{-1}$ sind offensichtlich invers zueinander:

$$\Psi_{\mathbf{S}}^{-1}(\Psi_{\mathbf{S}}(\mathbf{T})) = \mathbf{S}^{-1}\mathbf{S}\mathbf{T} = \mathbf{I}\mathbf{T} = \mathbf{T}$$

Ausführlich geschrieben wird die Chiffrierfunktion (wie auch ihre Umkehrung) wie folgt gebildet:

$$\mathbf{S}\mathbf{T} = \begin{pmatrix} \mathbf{s}_{00} & \mathbf{s}_{01} & \mathbf{s}_{02} & \mathbf{s}_{03} \\ \mathbf{s}_{10} & \mathbf{s}_{11} & \mathbf{s}_{12} & \mathbf{s}_{13} \\ \mathbf{s}_{20} & \mathbf{s}_{21} & \mathbf{s}_{22} & \mathbf{s}_{23} \\ \mathbf{s}_{30} & \mathbf{s}_{31} & \mathbf{s}_{32} & \mathbf{s}_{33} \end{pmatrix} \begin{pmatrix} \mathbf{t}_{00} & \mathbf{t}_{01} & \mathbf{t}_{02} & \mathbf{t}_{03} \\ \mathbf{t}_{10} & \mathbf{t}_{11} & \mathbf{t}_{12} & \mathbf{t}_{13} \\ \mathbf{t}_{20} & \mathbf{t}_{21} & \mathbf{t}_{22} & \mathbf{t}_{23} \\ \mathbf{t}_{30} & \mathbf{t}_{31} & \mathbf{t}_{32} & \mathbf{t}_{33} \end{pmatrix} = \begin{pmatrix} \mathbf{g}_{00} & \mathbf{g}_{01} & \mathbf{g}_{02} & \mathbf{g}_{03} \\ \mathbf{g}_{10} & \mathbf{g}_{11} & \mathbf{g}_{12} & \mathbf{g}_{13} \\ \mathbf{g}_{20} & \mathbf{g}_{21} & \mathbf{g}_{22} & \mathbf{g}_{23} \\ \mathbf{g}_{30} & \mathbf{g}_{31} & \mathbf{g}_{32} & \mathbf{g}_{33} \end{pmatrix} = \mathbf{G}$$

Die Koeffizienten $\mathbf{g}_{\mu\nu}$ der Matrix \mathbf{G} sind gegeben als

$$\mathbf{g}_{\mu\nu} = \mathbf{s}_{\mu 0}\mathbf{t}_{0\nu} + \mathbf{s}_{\mu 1}\mathbf{t}_{1\nu} + \mathbf{s}_{\mu 2}\mathbf{t}_{2\nu} + \mathbf{s}_{\mu 3}\mathbf{t}_{3\nu} \quad \mu, \nu \in \{0, 1, 2, 3\}$$

Die Additionen und Multiplikationen sind dabei die des Körpers \mathbb{K}_{256} . Eine solche Multiplikation wird mit Hilfe von Polynommultiplikationen und Polynomdivisionen ausgeführt, die beide hoch

2. Eine kurze Einführung in Chiffriersysteme

nichtlinear sind. Die Chiffrierabbildung besitzt deshalb einen gut ausgebildeten Verschleierungseffekt, womit auf die von SHANNON geforderte Diffusion angespielt ist.

Nun sind Matrizen mit Koeffizienten in \mathbb{K}_{2^8} für Anwender des Chiffrierverfahrens sicherlich ungewohnt wenn nicht sogar befremdliche Klartexte und Geheimtexte. Um eine angenehmere Anwendungsschnittstelle zu bekommen, wird wie folgt vorgegangen:

- Es wird von der speziellen Struktur der Matrixkoeffizienten abgesehen, sie werden nur noch als eben strukturelose Bytes oder Bitoktets $t_{\mu\nu}$ angesehen.
- Die Matrixspalten werden zu einem Vektor \mathbf{t} von 16 Bytes zusammengesetzt.

Es ist eigentlich gleichgültig, auf welche Weise der Vektor \mathbf{t} aus den Spalten der Matrix gebildet wird. Hier geschieht das folgendermaßen:

$$\mathbf{t} = (t_0 \ t_1 \ t_2 \ t_3 \ t_4 \ \cdots \ t_{15}) = (\mathbf{t}_{00} \ \mathbf{t}_{10} \ \mathbf{t}_{20} \ \mathbf{t}_{30} \ \mathbf{t}_{01} \ \mathbf{t}_{11} \ \mathbf{t}_{21} \ \cdots \ \mathbf{t}_{23} \ \mathbf{t}_{33})$$

Als ein Beispiel soll die bekannte Textzeile `Habe_nun,_ach!_` verschlüsselt werden. Verwendet man für die Zeichen des Textes den ASCII-Code, so erhält man den Anwenderklartext

$$\mathbf{t} = (48_{16} \ 61_{16} \ 62_{16} \ 65_{16} \ 20_{16} \ 6E_{16} \ 75_{16} \ 6E_{16} \ 2C_{16} \ 20_{16} \ 61_{16} \ 63_{16} \ 68_{16} \ 21_{16} \ 20_{16} \ 20_{16})$$

und daraus den Klartext des Chiffriersystems als

$$\mathbf{T} = \begin{pmatrix} 48_{16} & 20_{16} & 2C_{16} & 68_{16} \\ 61_{16} & 6E_{16} & 20_{16} & 21_{16} \\ 62_{16} & 75_{16} & 61_{16} & 20_{16} \\ 65_{16} & 6E_{16} & 63_{16} & 20_{16} \end{pmatrix}$$

Wie man sich Schlüssel verschaffen kann wird weiter unten ausführlich diskutiert. In diesem Beispiel wird der Schlüssel

$$\mathbf{S} = \begin{pmatrix} 01_{16} & 23_{16} & 71_{16} & 15_{16} \\ 01_{16} & 7F_{16} & F1_{16} & 40_{16} \\ 01_{16} & B1_{16} & 7B_{16} & 08_{16} \\ 01_{16} & EA_{16} & EE_{16} & 61_{16} \end{pmatrix} \quad \mathbf{S}^{-1} = \begin{pmatrix} 54_{16} & 16_{16} & A0_{16} & E3_{16} \\ 91_{16} & 8B_{16} & 33_{16} & 29_{16} \\ F6_{16} & BF_{16} & 83_{16} & CA_{16} \\ E0_{16} & 6B_{16} & 39_{16} & B2_{16} \end{pmatrix}$$

eingesetzt. Zur Not kann die Chiffrierung auch mit den Tabellen in Kapitel 10 durchgeführt werden. Wie es auch gemacht wird, der Geheimtext ist jedenfalls

$$\mathbf{ST} = \begin{pmatrix} 01_{16} & 23_{16} & 71_{16} & 15_{16} \\ 01_{16} & 7F_{16} & F1_{16} & 40_{16} \\ 01_{16} & B1_{16} & 7B_{16} & 08_{16} \\ 01_{16} & EA_{16} & EE_{16} & 61_{16} \end{pmatrix} \begin{pmatrix} 48_{16} & 20_{16} & 2C_{16} & 68_{16} \\ 61_{16} & 6E_{16} & 20_{16} & 21_{16} \\ 62_{16} & 75_{16} & 61_{16} & 20_{16} \\ 65_{16} & 6E_{16} & 63_{16} & 20_{16} \end{pmatrix} = \begin{pmatrix} D0_{16} & CA_{16} & 52_{16} & 43_{16} \\ 80_{16} & EB_{16} & BE_{16} & EF_{16} \\ 88_{16} & F6_{16} & BB_{16} & BC_{16} \\ DF_{16} & 62_{16} & 3D_{16} & BE_{16} \end{pmatrix} = \mathbf{G}$$

was zu folgendem Anwendergeheimtext führt:

$$\mathbf{g} = (D0_{16} \ 80_{16} \ 88_{16} \ DF_{16} \ CA_{16} \ EB_{16} \ F6_{16} \ 62_{16} \ 52_{16} \ BE_{16} \ BB_{16} \ 3D_{16} \ 43_{16} \ EF_{16} \ BC_{16} \ BE_{16})$$

Wie ein Vergleich von \mathbf{t} und \mathbf{g} zeigt, werden mehrfach vorkommende Buchstaben (also die Buchstaben `a` und `n`) verschieden verschlüsselt. Mit statistischen Untersuchungen über die Häufigkeit gewisser Buchstaben in einem Text einer Sprache kann man dieses Chiffriersystem daher nicht überlisten. Das gelingt jedoch unter gewissen Voraussetzungen auf einfache algebraische Weise,

wie weiter unten gezeigt wird.

Zunächst aber ist noch zu klären, auf welchen Wegen man sich Schlüssel verschaffen kann: Gesucht sind reguläre (invertierbare) 4×4 -Matrizen mit Koeffizienten aus dem Körper \mathbb{K}_{2^8} .

Die sich hier sofort stellende Gretchenfrage ist natürlich: Wie kann man die Regularität (oder entgegengesetzt die Singularität) einer Matrix aus \mathcal{M} erkennen? Es gibt den klassischen Weg über die Determinante, doch ist deren orthodoxe Berechnung über die Adjungierten der Matrix rechentechnisch ein Alptraum und sollte vermieden werden. Es gelingt auf viel einfacherem Wege, indem die Matrix in eine obere Dreiecksmatrix umgeformt wird: Ist die Hauptdiagonale der Dreiecksmatrix voll besetzt, dann ist die Matrix regulär.

Man kann so vorgehen, daß man Matrizen mit Zufallszahlen aufbaut, die dann auf Regularität getestet werden. Allerdings ist die Wahrscheinlichkeit, auf diese Weise eine reguläre Matrix zu finden, nicht sehr groß. Hier sind beispielsweise alle 2×2 -Matrizen mit Koeffizienten aus dem Körper \mathbb{K}_2 :

$$\begin{pmatrix} 0 & 0 \\ 0 & 0 \end{pmatrix} \begin{pmatrix} 1 & 0 \\ 0 & 0 \end{pmatrix} \begin{pmatrix} 0 & 1 \\ 0 & 0 \end{pmatrix} \begin{pmatrix} 0 & 0 \\ 0 & 1 \end{pmatrix} \begin{pmatrix} 0 & 0 \\ 1 & 0 \end{pmatrix} \begin{pmatrix} 1 & 1 \\ 0 & 0 \end{pmatrix} \begin{pmatrix} 0 & 0 \\ 1 & 1 \end{pmatrix} \begin{pmatrix} 1 & 0 \\ 1 & 0 \end{pmatrix} \\ \begin{pmatrix} 0 & 1 \\ 0 & 1 \end{pmatrix} \begin{pmatrix} 1 & 0 \\ 0 & 1 \end{pmatrix} \begin{pmatrix} 0 & 1 \\ 1 & 0 \end{pmatrix} \begin{pmatrix} 1 & 1 \\ 1 & 0 \end{pmatrix} \begin{pmatrix} 1 & 1 \\ 0 & 1 \end{pmatrix} \begin{pmatrix} 0 & 1 \\ 1 & 1 \end{pmatrix} \begin{pmatrix} 1 & 0 \\ 1 & 1 \end{pmatrix} \begin{pmatrix} 1 & 1 \\ 1 & 1 \end{pmatrix}$$

Wie un schwer zu erkennen ist (die Matrixspalten müssen linear unabhängig sein), sind sechs dieser 16 Matrizen regulär, nämlich

$$\begin{pmatrix} 1 & 0 \\ 0 & 1 \end{pmatrix} \begin{pmatrix} 0 & 1 \\ 1 & 0 \end{pmatrix} \begin{pmatrix} 1 & 1 \\ 1 & 0 \end{pmatrix} \begin{pmatrix} 1 & 1 \\ 0 & 1 \end{pmatrix} \begin{pmatrix} 0 & 1 \\ 1 & 1 \end{pmatrix} \begin{pmatrix} 1 & 0 \\ 1 & 1 \end{pmatrix}$$

folglich ist die Wahrscheinlichkeit, daß solch eine mit Zufallszahlen erzeugte Matrix regulär ist, $\frac{3}{8}$ oder 37,5%. Es ist aber sehr einfach, eine große Zahl von regulären Matrizen direkt anzugeben. Sind nämlich $\mathbf{a}, \mathbf{b}, \mathbf{c}, \mathbf{d} \in \mathbb{K}_{2^8}$, dann ist die damit gebildete Matrix von VANDERMONDE

$$\mathbf{V}(\mathbf{a}, \mathbf{b}, \mathbf{c}, \mathbf{d}) = \begin{pmatrix} \mathbf{1} & \mathbf{a} & \mathbf{a}^2 & \mathbf{a}^3 \\ \mathbf{1} & \mathbf{b} & \mathbf{b}^2 & \mathbf{b}^3 \\ \mathbf{1} & \mathbf{c} & \mathbf{c}^2 & \mathbf{c}^3 \\ \mathbf{1} & \mathbf{d} & \mathbf{d}^2 & \mathbf{d}^3 \end{pmatrix}$$

genau dann regulär, wenn die vier Parameter verschieden sind. Man erhält auf diese Weise daher $256 \cdot 255 \cdot 254 \cdot 253 = 4195023360$ reguläre Matrizen. Die obige Beispielsmatrix ist eine solche reguläre VANDERMONDESche Matrix:

$$\begin{pmatrix} 01_{16} & 23_{16} & 71_{16} & 15_{16} \\ 01_{16} & 7F_{16} & F1_{16} & 40_{16} \\ 01_{16} & B1_{16} & 7B_{16} & 08_{16} \\ 01_{16} & EA_{16} & EE_{16} & 61_{16} \end{pmatrix} = \mathbf{V}(23_{16}, 7F_{16}, B1_{16}, EA_{16})$$

Wenn keine Software zur Invertierung von Matrizen mit Koeffizienten in \mathbb{K}_{2^8} zur Verfügung steht, kann die inverse Schlüsselmatrix auch mit einem AVR-Mikrocontroller berechnet werden, siehe dazu [HSMS] 5.2..

Die Implementierung dieses Chiffriersystems ist simpel genug, es gilt nur, das Produkt zwei-

2. Eine kurze Einführung in Chiffriersysteme

er 4×4 -Matrizen zu berechnen. Allerdings gehört die Berechnung solcher Produkte auch zum Chiffriersystem AES, weshalb sich hier eine Probeimplementierung für AVR empfiehlt.

Unterprogramm `mcK284x4Mul`

Es wird das Produkt $\mathbf{G} = \mathbf{S}\mathbf{T}$ zweier 4×4 -Matrizen \mathbf{S} und \mathbf{T} mit Koeffizienten im Körper \mathbb{K}_{2^8} berechnet.

Input

- `r29:r28` Die Adresse σ einer 4×4 -Matrix \mathbf{S}
- `r31:r30` Die Adresse τ einer 4×4 -Matrix \mathbf{T}
- `r27:r26` Die Adresse γ einer 4×4 -Matrix \mathbf{G}

Die Koeffizienten der Matrizen werden zeilenweise gespeichert.
Das Unterprogramm kann keine Fehler erzeugen.

```

1 mcK284x4Mul:  push5  r16,r17,r18,r19,r20  5x2
2              ldi    r20,1                1   r20 ← k = 1, d.h. i = 0
3 mcK284x4Mul05:ld  r16,Y                2   r16 ← si0
4              ld    r17,Z                2   r17 ← t00
5              rcall mcK28Mul             3+  r18 ← si0t00
6              mov   r19,r18              1   r19 ← h = si0t00
7              ldd   r16,Y+1              2   r16 ← si1
8              ldd   r17,Z+4              2   r17 ← t10
9              rcall mcK28Mul             3+  r18 ← si1t10
10             eor   r19,r18              1   r19 ← h + si1t10
11             ldd   r16,Y+2              2   r16 ← si2
12             ldd   r17,Z+8              2   r17 ← t20
13             rcall mcK28Mul             2+  r18 ← si2t20
14             eor   r19,r18              1   r19 ← h + si2t20
15             ldd   r16,Y+3              2   r16 ← si3
16             ldd   r17,Z+12             2   r17 ← t30
17             rcall mcK28Mul             3+  r18 ← si3t30
18             eor   r19,r18              1   r19 ← h + si3t30
19             st    X+,r19                2   gi0 ← h
20             ld    r16,Y                 2   r16 ← si0
21             ldd   r17,Z+1              2   r17 ← t01
22             rcall mcK28Mul             3+  r18 ← si0t01
23             mov   r19,r18              1   r19 ← h = si0t01
24             ldd   r16,Y+1              2   r16 ← si1
25             ldd   r17,Z+5              2   r17 ← t11
26             rcall mcK28Mul             3+  r18 ← si1t11
27             eor   r19,r18              1   r19 ← h + si1t11
28             ldd   r16,Y+2              2   r16 ← si2
29             ldd   r17,Z+9              2   r17 ← t21
30             rcall mcK28Mul             3+  r18 ← si2t21
31             eor   r19,r18              1   r19 ← h + si2t21
32             ldd   r16,Y+3              2   r16 ← si3
33             ldd   r17,Z+13             2   r17 ← t31
34             rcall mcK28Mul             3+  r18 ← si3t31
35             eor   r19,r18              1   r19 ← h + si3t31

```

36	st	X+,r19	2	$\mathbf{g}_{i1} \leftarrow \mathbf{h}$
37	ld	r16,Y	2	$\mathbf{r}_{16} \leftarrow \mathbf{s}_{i0}$
38	ldd	r17,Z+2	2	$\mathbf{r}_{17} \leftarrow \mathbf{t}_{02}$
39	rcall	mck28Mul	3+	$\mathbf{r}_{18} \leftarrow \mathbf{s}_{i0}\mathbf{t}_{02}$
40	mov	r19,r18	1	$\mathbf{r}_{19} \leftarrow \mathbf{h} = \mathbf{s}_{i0}\mathbf{t}_{02}$
41	ldd	r16,Y+1	2	$\mathbf{r}_{16} \leftarrow \mathbf{s}_{i1}$
42	ldd	r17,Z+6	2	$\mathbf{r}_{17} \leftarrow \mathbf{t}_{12}$
43	rcall	mck28Mul	3+	$\mathbf{r}_{18} \leftarrow \mathbf{s}_{i1}\mathbf{t}_{12}$
44	eor	r19,r18	1	$\mathbf{r}_{19} \leftarrow \mathbf{h} + \mathbf{s}_{i1}\mathbf{t}_{12}$
45	ldd	r16,Y+2	2	$\mathbf{r}_{16} \leftarrow \mathbf{s}_{i2}$
46	ldd	r17,Z+10	2	$\mathbf{r}_{17} \leftarrow \mathbf{t}_{22}$
47	rcall	mck28Mul	3+	$\mathbf{r}_{18} \leftarrow \mathbf{s}_{i2}\mathbf{t}_{22}$
48	eor	r19,r18	1	$\mathbf{r}_{19} \leftarrow \mathbf{h} + \mathbf{s}_{i2}\mathbf{t}_{22}$
49	ldd	r16,Y+3	2	$\mathbf{r}_{16} \leftarrow \mathbf{s}_{i3}$
50	ldd	r17,Z+14	2	$\mathbf{r}_{17} \leftarrow \mathbf{t}_{32}$
51	rcall	mck28Mul	3+	$\mathbf{r}_{18} \leftarrow \mathbf{s}_{i3}\mathbf{t}_{32}$
52	eor	r19,r18	1	$\mathbf{r}_{19} \leftarrow \mathbf{h} + \mathbf{s}_{i3}\mathbf{t}_{32}$
53	st	X+,r19	2	$\mathbf{g}_{i2} \leftarrow \mathbf{h}$
54	ld	r16,Y+	2	$\mathbf{r}_{16} \leftarrow \mathbf{s}_{i0}, \mathbf{r}_{29:28} \leftarrow \mathcal{A}(\mathbf{s}_{i1})$
55	ldd	r17,Z+3	2	$\mathbf{r}_{17} \leftarrow \mathbf{t}_{03}$
56	rcall	mck28Mul	3+	$\mathbf{r}_{18} \leftarrow \mathbf{s}_{i0}\mathbf{t}_{03}$
57	mov	r19,r18	1	$\mathbf{r}_{19} \leftarrow \mathbf{h} = \mathbf{s}_{i0}\mathbf{t}_{03}$
58	ld	r16,Y+	2	$\mathbf{r}_{16} \leftarrow \mathbf{s}_{i1}, \mathbf{r}_{29:28} \leftarrow \mathcal{A}(\mathbf{s}_{i2})$
59	ldd	r17,Z+7	2	$\mathbf{r}_{17} \leftarrow \mathbf{t}_{13}$
60	rcall	mck28Mul	3+	$\mathbf{r}_{18} \leftarrow \mathbf{s}_{i1}\mathbf{t}_{13}$
61	eor	r19,r18	1	$\mathbf{r}_{19} \leftarrow \mathbf{h} + \mathbf{s}_{i1}\mathbf{t}_{13}$
62	ld	r16,Y+	2	$\mathbf{r}_{16} \leftarrow \mathbf{s}_{i2}, \mathbf{r}_{29:28} \leftarrow \mathcal{A}(\mathbf{s}_{i3})$
63	ldd	r17,Z+11	2	$\mathbf{r}_{17} \leftarrow \mathbf{t}_{23}$
64	rcall	mck28Mul	3+	$\mathbf{r}_{18} \leftarrow \mathbf{s}_{i2}\mathbf{t}_{23}$
65	eor	r19,r18	1	$\mathbf{r}_{19} \leftarrow \mathbf{h} + \mathbf{s}_{i2}\mathbf{t}_{23}$
66	ld	r16,Y+	2	$\mathbf{r}_{16} \leftarrow \mathbf{s}_{i3}, \mathbf{r}_{29:28} \leftarrow \mathcal{A}(\mathbf{s}_{i+1,3})$
67	ldd	r17,Z+15	2	$\mathbf{r}_{17} \leftarrow \mathbf{t}_{33}$
68	rcall	mck28Mul	3+	$\mathbf{r}_{18} \leftarrow \mathbf{s}_{i3}\mathbf{t}_{33}$
69	eor	r19,r18	1	$\mathbf{r}_{19} \leftarrow \mathbf{h} + \mathbf{s}_{i3}\mathbf{t}_{33}$
70	st	X+,r19	2	$\mathbf{g}_{i3} \leftarrow \mathbf{h}$
71	lsl	r20	1	$k \leftarrow 2k$
72	sbrs	r20,4	1/2	Falls $k < 8$:
73	rjmp	mck284x4Mul05	2	Zur $i + 1$ -ten Zeile von \mathbf{S}
74	sbiw	r27:r26,16	2	$\mathbf{r}_{27:r26}$ restaurieren
75	sbiw	r29:r28,16	2	$\mathbf{r}_{29:r28}$ restaurieren
76	pop5	r20,r19,r18,r17,r16	5x2	
77	ret		4	

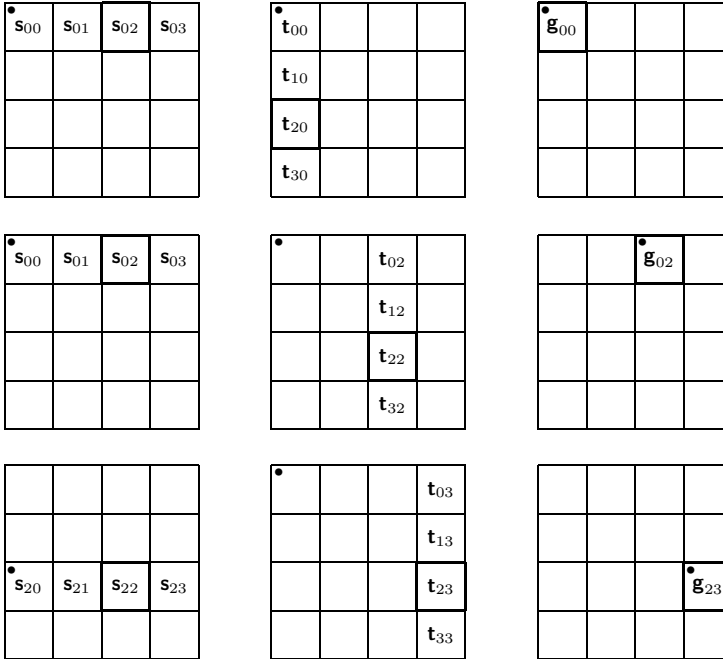
Die Koeffizienten der Matrix \mathbf{G} werden zeilenweise berechnet. Daraus folgt unmittelbar, in welcher Reihenfolge die Zeilen von \mathbf{S} mit den Spalten von \mathbf{T} kombiniert werden müssen. Denn aus

$$\mathbf{g}_{\mu\nu} = \mathbf{s}_{\mu 0}\mathbf{t}_{0\nu} + \mathbf{s}_{\mu 1}\mathbf{t}_{1\nu} + \mathbf{s}_{\mu 2}\mathbf{t}_{2\nu} + \mathbf{s}_{\mu 3}\mathbf{t}_{3\nu} \quad \mu, \nu \in \{0, 1, 2, 3\}$$

2. Eine kurze Einführung in Chiffriersysteme

folgt, daß zuerst die erste Zeile von \mathbf{S} der Reihe nach mit den vier Spalten von \mathbf{T} zu kombinieren ist, dann die zweite Zeile von \mathbf{S} der Reihe nach mit den vier Spalten von \mathbf{T} , und so fort. Die vier Zeilen von \mathbf{S} werden in einer Schleife durchlaufen, die Kombination mit den vier Spalten von \mathbf{T} gemäß obiger Formel wird ohne Schleife direkt ausgeführt.

Es bleibt nur noch zu klären, wie die Adressenregister genutzt werden. Die nachfolgenden Skizzen erläutern die Vorgehensweise. Die erste Reihe zeigt die Berechnung von \mathbf{g}_{00} , die zweite Reihe die Berechnung von \mathbf{g}_{02} und die dritte Reihe die Berechnung von \mathbf{g}_{23} .



Die Punkte zeigen an, welche Adresse das Adressregister bei der Berechnung von $\mathbf{g}_{\mu\nu}$ enthält. Es wird wie folgt verfahren:

- Register \mathbf{X} enthält die Adresse des $\mathbf{g}_{\mu\nu}$, das gerade berechnet wird.
- Register \mathbf{Y} enthält stets die Adresse von \mathbf{t}_{00} .
- Bei der Kombination der μ -ten Zeile von \mathbf{S} mit den vier Spalten von \mathbf{T} enthält Register \mathbf{Z} die Adresse von $\mathbf{g}_{\mu 0}$.

Damit liegen auch die relativen Adressen (*offsets*) relativ zu den in den Adressregistern enthaltenen Adressen fest, mit welchen auf die Matrixkoeffizienten zugegriffen wird. Beispielsweise hat s_{22} bezüglich \mathbf{Y} die relative Adresse 2 und t_{23} hat bezüglich Register \mathbf{Z} die relative Adresse 11.

Kennt man den Schlüssel \mathbf{S} nicht, aber auch **keinen** Klartext \mathbf{T} , kann man den verwendeten Schlüssel nur durch Ausprobieren aller Schlüssel und Klartexte herausbekommen. Das ist bei der großen Zahl der möglichen Matrizen allerdings ein aufwendiges Unterfangen. Hat man jedoch Zugang zu einem Klartext \mathbf{T} und einem Geheimtext \mathbf{G} , dann hat man in

$$\mathbf{ST} = \mathbf{G}$$

ein System linearer Gleichungen für die Koeffizienten $\mathbf{s}_{\mu\nu}$ von \mathbf{S} . Ist man vom Glück begünstigt und ist der Klartext \mathbf{T} sogar regulär, dann ergibt sich der Schlüssel direkt als

$$\mathbf{S} = \mathbf{G}\mathbf{T}^{-1}$$

Ist das nicht der Fall, dann lassen sich aus den Gleichungen einige der $\mathbf{s}_{\mu\nu}$ berechnen, für die Übrigen erhält man immerhin einige lineare Gleichungen. Wenn nur wenige Koeffizienten unbestimmt bleiben, kann man hier mit Durchprobieren zum Ziel kommen.

Ist zwar \mathbf{S} unbekannt, hat man jedoch Zugang zum Verschlüsselungsprozess, etwa durch einen Mikroprozessor, der mit dem Verfahren programmiert ist, kann man also den Klartext selbst bestimmen, dann wählt man als Klartext einfach die identische Matrix \mathbf{I} und erhält damit

$$\mathbf{S} = \mathbf{S}\mathbf{I} = \mathbf{G}$$

Das bedeutet also, daß bei diesem Verfahren sowohl Schlüssel als auch alle Klartexte im Verborgenen bleiben müssen.

Zum Schluss wird noch das Chiffrierverfahren von HILL in das oben gegebene Chiffrierschema eingeordnet. Man kann wie folgt vorgehen.

- (i) $\mathbf{T} = \mathbb{K}_{2^8}$
- (ii) $\mathcal{T} = \mathcal{E}_{\mathbb{K}_2^8}^{16}$
- (iii) $\mathbf{G} = \mathbb{K}_{2^8}$
- (iv) $\mathcal{G} = \mathcal{E}_{\mathbb{K}_2^8}^{16}$
- (v) $\mathcal{K} = \{ \mathbf{K} \in \mathcal{M}_{\mathbb{K}_2^8} \mid \text{Rang}(\mathbf{K}) = 4 \}$, d.h. die regulären Matrizen aus $\mathcal{M}_{\mathbb{K}_2^8}$
- (vi) Die Abbildung $\Omega: \mathcal{K} \rightarrow \mathbf{P}(\mathcal{E}_{\mathbb{K}_2^8}^{16})$ ist gegeben als

$$\Omega(\mathbf{K}) = \Lambda^{-1} \circ \Psi_{\mathbf{K}} \circ \Lambda \quad \text{d.h.} \quad \Omega(\mathbf{K})((f_\nu)_{\nu \in N}) = \Lambda^{-1}(\Lambda((f_\nu)_{\nu \in N})\mathbf{K})$$

mit der Chiffrierabbildung $\Psi_{\mathbf{K}}$ des HILLSchen Systems.

Der Schlüsselbereich besteht aus allen regulären, d.h. invertierbaren, 4×4 -Matrizen mit Koeffizienten aus dem Körper \mathbb{K}_{2^8} , die Chiffrierabbildungen $\Psi_{\mathbf{K}}$ sind daher bijektiv und damit schließlich auch die Chiffrierabbildungen $\Omega(\mathbf{K})$.

In der Praxis besteht das Alphabet natürlich nicht aus \mathbb{K}_{2^8} , sondern aus \mathbb{K}_2^8 . Also nicht aus Elementen des endlichen Körpers \mathbb{K}_{2^8} , der wohl nur sehr wenigen Anwendern des Verfahrens geläufig ist, sondern aus schlichten Bytes oder Bitoktets. Es ist lediglich eine Angelegenheit der Interpretation, die selbstverständlich auch formalisiert werden könnte. Ein klein wenig problematisch ist die Angelegenheit nur deshalb, weil die Polynome, aus welchen die Elemente des Körpers \mathbb{K}_{2^8} hier nach Konstruktion bestehen (siehe Abschnitt A.5), abkürzend (und von ihrer wahren Natur dabei ablenkend) mit Bitoktets oder noch kompakter mit zwei Hexadezimalziffern bezeichnet werden. Würde tatsächlich Polynomnotation verwendet, dann wären noch Übergangsabbildungen von \mathbb{K}_{2^8} nach \mathbb{K}_2^8 und zurück einzuführen.

2.3. RSA

Im Jahre 1978 erlebte die Kryptographie eine Revolution, als *Ronald Rivest*, *Adi Shamir* und *Leonard Adleman* das erste Verschlüsselungssystem mit öffentlich bekanntem Schlüssel vorstellten. Man übertreibt sicher nicht, wenn man das System für einen der wichtigsten Beiträge zur Kryptographie überhaupt ansieht.

Das RSA-Chiffriersystem ist leicht zu beschreiben, es ist wie folgt aufgebaut. Es seien p und q zwei (große) Primzahlen, und es sei

$$n = pq \quad m = (p - 1)(q - 1)$$

Die internen Klartexte t und Geheimtexte g des Verfahrens sind die Elemente des Ringes \mathbb{Z}_n , d.h. es gilt $0 \leq t < n$ und $0 \leq g < n$. Weiterhin sei $e \in \mathbb{Z}_m^* = \mathbb{Z}_m \setminus \{0\}$ so gewählt, daß

$$\text{ggT}(e, m) = 1$$

gilt. D.h. e ist ein **invertierbares Element** des Ringes \mathbb{Z}_m , das mit m keine echten Teiler gemeinsam hat. Die Zahl e ist der Schlüssel des Verfahrens. Die Verschlüsselungsfunktion $\Psi_e : \mathbb{Z}_n \rightarrow \mathbb{Z}_n$ ist gegeben als

$$\Psi_e(u) = u^e$$

dabei ist die Potenzierung natürlich im Ring \mathbb{Z}_n auszuführen. Wenn also die Multiplikation von \mathbb{Z}_n mit \otimes bezeichnet wird, dann ist

$$\Psi_e(u) = \underbrace{u \otimes u \otimes \cdots \otimes u}_{e\text{-mal}} = \varrho_n(u^e)$$

Die Entschlüsselungsfunktion $\Psi_e^{-1} : \mathbb{Z}_n \rightarrow \mathbb{Z}_n$ schließlich ist gegeben durch

$$\Psi_e^{-1}(u) = u^{\zeta_{p,q}(e)} = \Psi_{\zeta_{p,q}(e)}(u)$$

wobei auch diese Potenzierung natürlich mit der Arithmetik des Ringes \mathbb{Z}_n durchzuführen ist:

$$\Psi_e^{-1}(u) = \underbrace{u \otimes u \otimes \cdots \otimes u}_{\zeta_{p,q}(e)\text{-mal}} = \varrho_n(u^{\zeta_{p,q}(e)})$$

Darin ist die Abbildung $\zeta_{p,q} : \mathbb{Z}_m^* \rightarrow \mathbb{Z}_m^*$ gegeben als

$$\zeta_{p,q}(e) = e^{-1}$$

wobei e^{-1} das zu e inverse Element **im Ring** \mathbb{Z}_m ist, d.h. wenn die Multiplikation von \mathbb{Z}_m mit \odot bezeichnet wird, dann gilt

$$e \odot e^{-1} = 1$$

Ohne die Kenntnis von p und q und damit auch von m ist der Ring \mathbb{Z}_m nicht bekannt, in dem das zu e inverse Element e^{-1} zu berechnen ist. Um aber p und q zu bestimmen ist die Zahl n in ihre beiden Primfaktoren p und q zu zerlegen, und in der Praxis werden die beiden Primzahlen so gewählt, daß diese Zerlegung unmöglich ist, jedenfalls mit den heutigen rechnerischen Mitteln. Beispielsweise sollen p und q Zahlen mit mindestens 100 Dezimalziffern sein, doch ist die Größe